

Eingabe: Farbmimetrisches Offset-Reflektiv-System ORS18

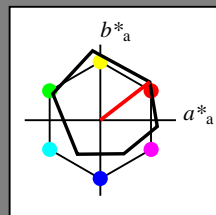
für Buntton $h^* = lab^*h = 38/360 = 0.105$

lab^*tch und lab^*nch

D65: Buntton O

LCH*Ma: 48 83 38

olv*Ma: 1.0 0.0 0.0



ORS18; adaptierte CIELAB-Daten

	$L^*=L^*_a$	a^*_a	b^*_a	$C^*_{ab,a}$	$h^*_{ab,a}$
O _m	47.94	65.39	50.52	82.63	38
Y _m	90.37	-10.26	91.75	92.32	96
L _m	50.9	-62.83	34.96	71.91	151
C _m	58.62	-30.34	-45.01	54.3	236
V _m	25.72	31.1	-44.4	54.22	305
M _m	48.13	75.28	-8.36	75.74	354
N _m	18.01	0.0	0.0	0.0	0
W _m	95.41	0.0	0.0	0.0	0
R _{CIE}	39.92	58.66	26.98	64.57	25
J _{CIE}	81.26	-2.16	67.76	67.79	92
G _{CIE}	52.23	-42.25	11.76	43.87	164
B _{CIE}	30.57	1.15	-46.84	46.86	271

Dreiecks-Helligkeit t^*

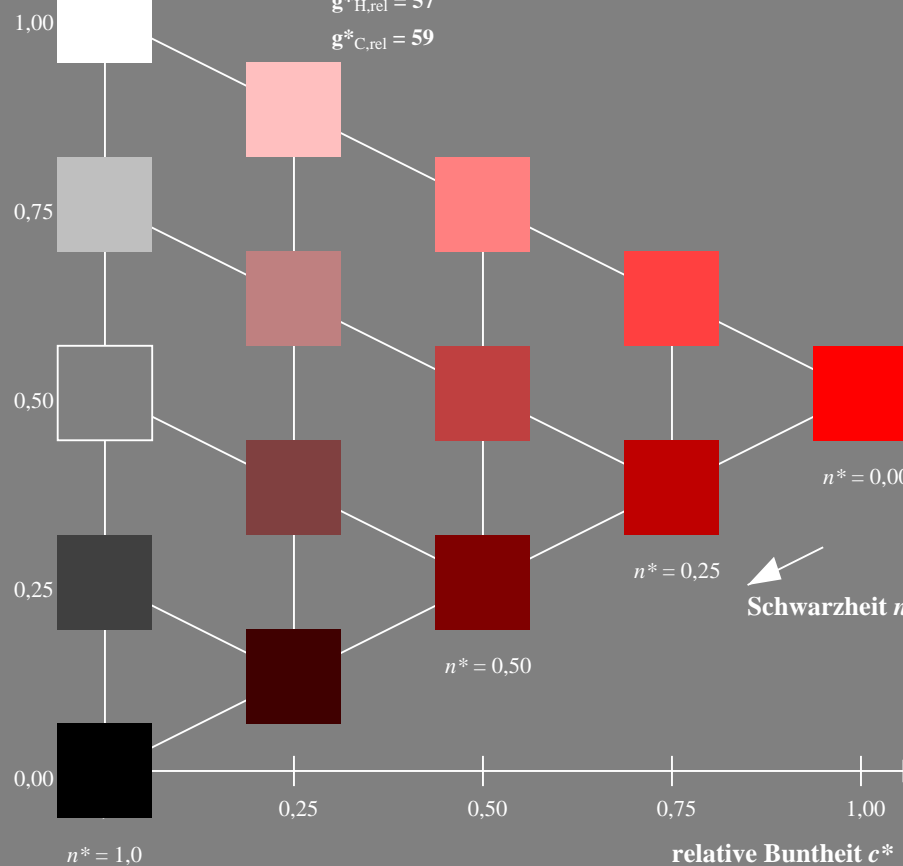
%Umfang

$u^*_{rel} = 93$

%Regularität

$g^*_{H,rel} = 57$

$g^*_{C,rel} = 59$



NG200-7, 5 stufige Reihen für konstanten CIELAB Buntton 38/360 = 0.105 (links)

Ausgabe: Farbmimetrisches Fernseh-Licht-System TLS00

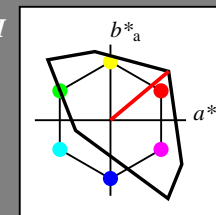
für Buntton $h^* = lab^*h = 40/360 = 0.111$

LAB^*LCH , LAB^*NCH

D65: Buntton O

LCH*Ma: 51 100 40

olv*Ma: 1.0 0.0 0.0



TLS00; adaptierte CIELAB-Daten

	$L^*=L^*_a$	a^*_a	b^*_a	$C^*_{ab,a}$	$h^*_{ab,a}$
O _m	50.5	76.92	64.55	100.42	40
Y _m	92.66	-20.69	90.75	93.08	103
L _m	83.63	-82.75	79.9	115.04	136
C _m	86.88	-46.16	-13.55	48.12	196
V _m	30.39	76.06	-103.59	128.52	306
M _m	57.3	94.35	-58.41	110.97	328
N _m	0.01	0.0	0.0	0.0	0
W _m	95.41	0.0	0.0	0.0	0
R _{CIE}	39.92	58.74	27.99	65.07	25
J _{CIE}	81.26	-2.88	71.56	71.62	92
G _{CIE}	52.23	-42.41	13.6	44.55	162
B _{CIE}	30.57	1.41	-46.46	46.49	272

CIELAB-Helligkeit L^*

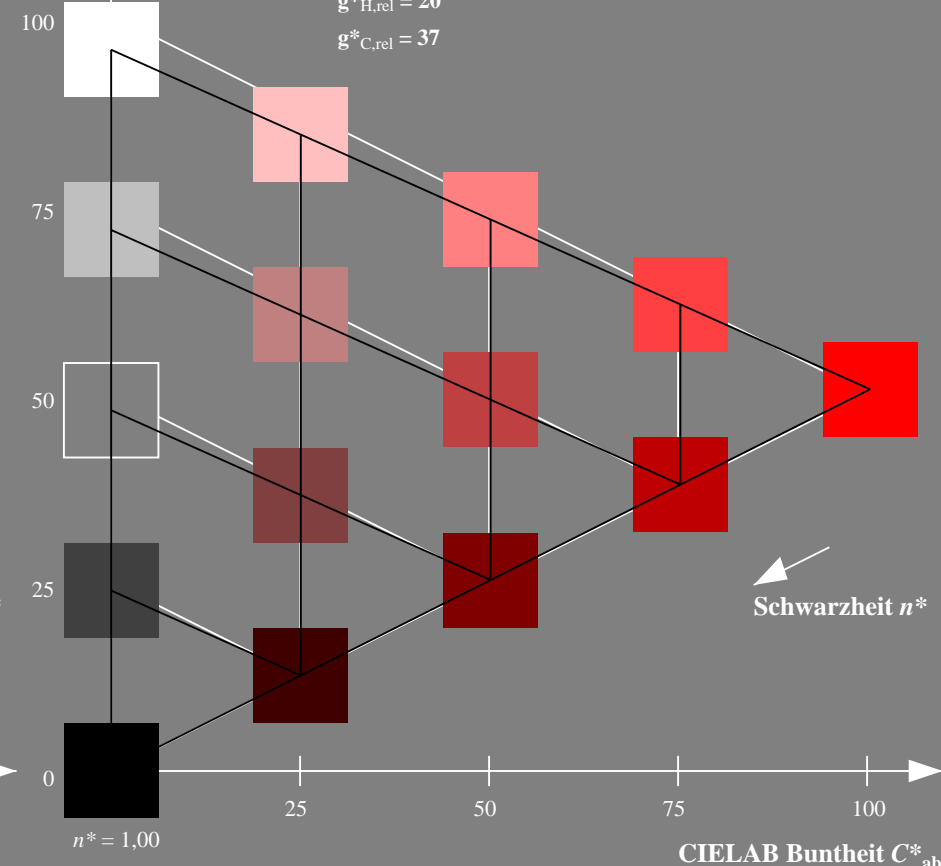
%Umfang

$u^*_{rel} = 158$

%Regularität

$g^*_{H,rel} = 20$

$g^*_{C,rel} = 37$



5 stufige Reihen für konstanten CIELAB Buntton 40/360 = 0.111 (rechts)

BAM-Prüfvorlage NG20; Farbmimetrik-Systeme ORS18 & TLS00 input: olv* setrgbcolor

D65: Koordinatensysteme; 5stufige Farbreihen für 10 Bunttöne output: no change compared to input

Eingabe: Farbmimetrisches Offset-Reflektiv-System ORS18

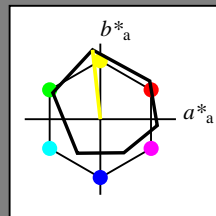
für Buntton $h^* = lab^*h = 96/360 = 0.268$

lab^*tch und lab^*nch

D65: Buntton Y

LCH*Ma: 90 92 96

olv*Ma: 1.0 1.0 0.0



ORS18; adaptierte CIELAB-Daten

	$L^*=L^*_a$	a^*_a	b^*_a	$C^*_{ab,a}$	$h^*_{ab,a}$
O _m	47.94	65.39	50.52	82.63	38
Y _m	90.37	-10.26	91.75	92.32	96
L _m	50.9	-62.83	34.96	71.91	151
C _m	58.62	-30.34	-45.01	54.3	236
V _m	25.72	31.1	-44.4	54.22	305
M _m	48.13	75.28	-8.36	75.74	354
N _m	18.01	0.0	0.0	0.0	0
W _m	95.41	0.0	0.0	0.0	0
R _{CIE}	39.92	58.66	26.98	64.57	25
J _{CIE}	81.26	-2.16	67.76	67.79	92
G _{CIE}	52.23	-42.25	11.76	43.87	164
B _{CIE}	30.57	1.15	-46.84	46.86	271

Dreiecks-Helligkeit t^*

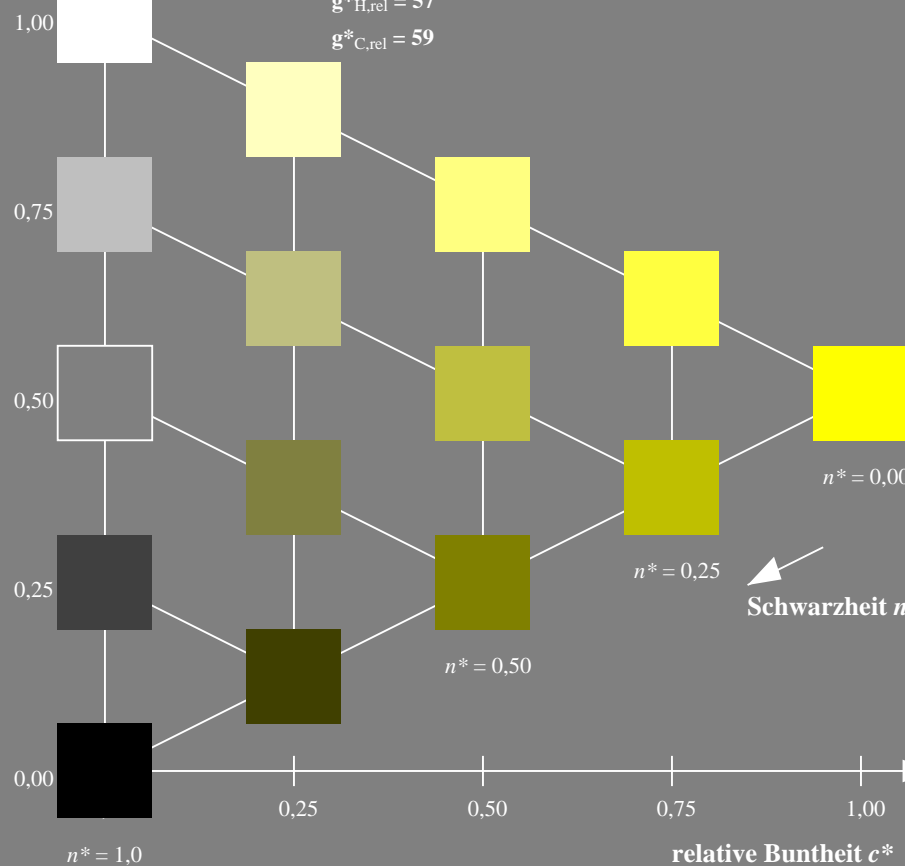
%Umfang

$u^*_{rel} = 93$

%Regularität

$g^*_{H,rel} = 57$

$g^*_{C,rel} = 59$



NG200-7, 5 stufige Reihen für konstanten CIELAB Buntton 96/360 = 0.268 (links)

Ausgabe: Farbmimetrisches Fernseh-Licht-System TLS00

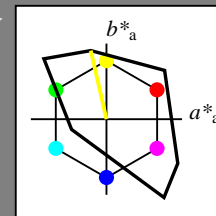
für Buntton $h^* = lab^*h = 103/360 = 0.286$

LAB^*LCH , LAB^*NCH

D65: Buntton Y

LCH*Ma: 93 93 103

olv*Ma: 1.0 1.0 0.0



TLS00; adaptierte CIELAB-Daten

	$L^*=L^*_a$	a^*_a	b^*_a	$C^*_{ab,a}$	$h^*_{ab,a}$
O _m	50.5	76.92	64.55	100.42	40
Y _m	92.66	-20.69	90.75	93.08	103
L _m	83.63	-82.75	79.9	115.04	136
C _m	86.88	-46.16	-13.55	48.12	196
V _m	30.39	76.06	-103.59	128.52	306
M _m	57.3	94.35	-58.41	110.97	328
N _m	0.01	0.0	0.0	0.0	0
W _m	95.41	0.0	0.0	0.0	0
R _{CIE}	39.92	58.74	27.99	65.07	25
J _{CIE}	81.26	-2.88	71.56	71.62	92
G _{CIE}	52.23	-42.41	13.6	44.55	162
B _{CIE}	30.57	1.41	-46.46	46.49	272

CIELAB-Helligkeit L^*

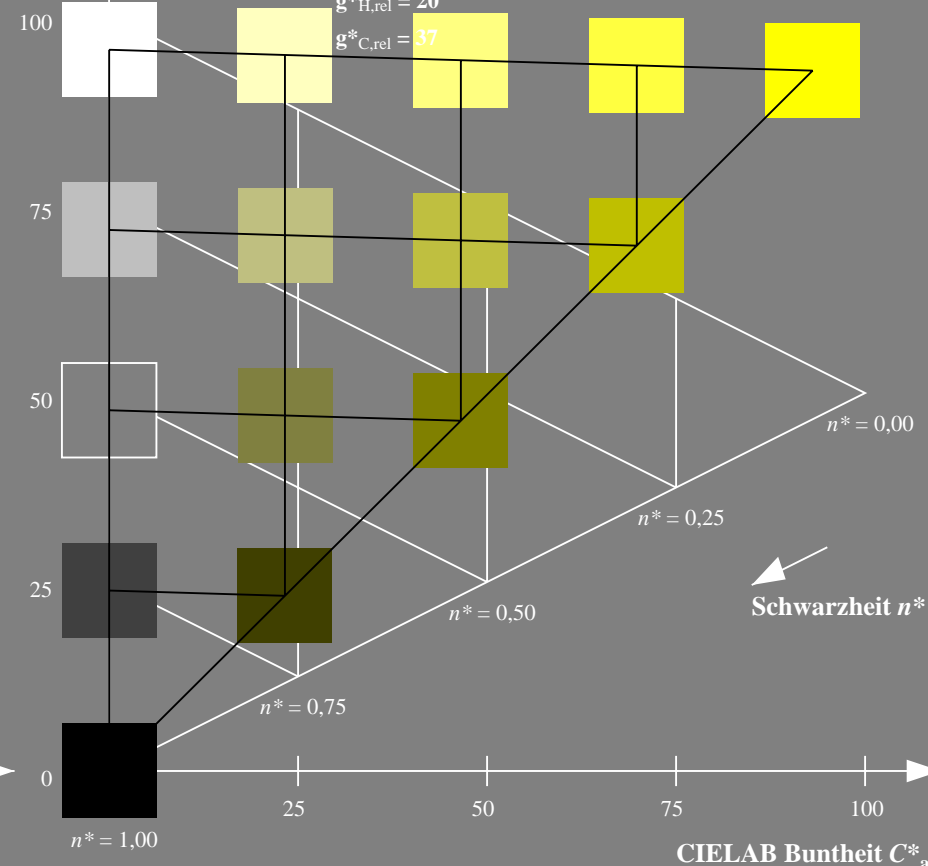
%Umfang

$u^*_{rel} = 158$

%Regularität

$g^*_{H,rel} = 20$

$g^*_{C,rel} = 37$



5 stufige Reihen für konstanten CIELAB Buntton 103/360 = 0.286 (rechts)

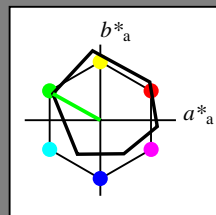
BAM-Prüfvorlage NG20; Farbmimetrik-Systeme ORS18 & TLS00 input: olv* setrgbcolor

D65: Koordinatensysteme; 5stufige Farbreihen für 10 Bunttöne output: no change compared to input

Eingabe: Farbmimetrisches Offset-Reflektiv-System ORS18

für Buntton $h^* = lab^*h = 151/360 = 0.419$
 lab^*tch und lab^*nch

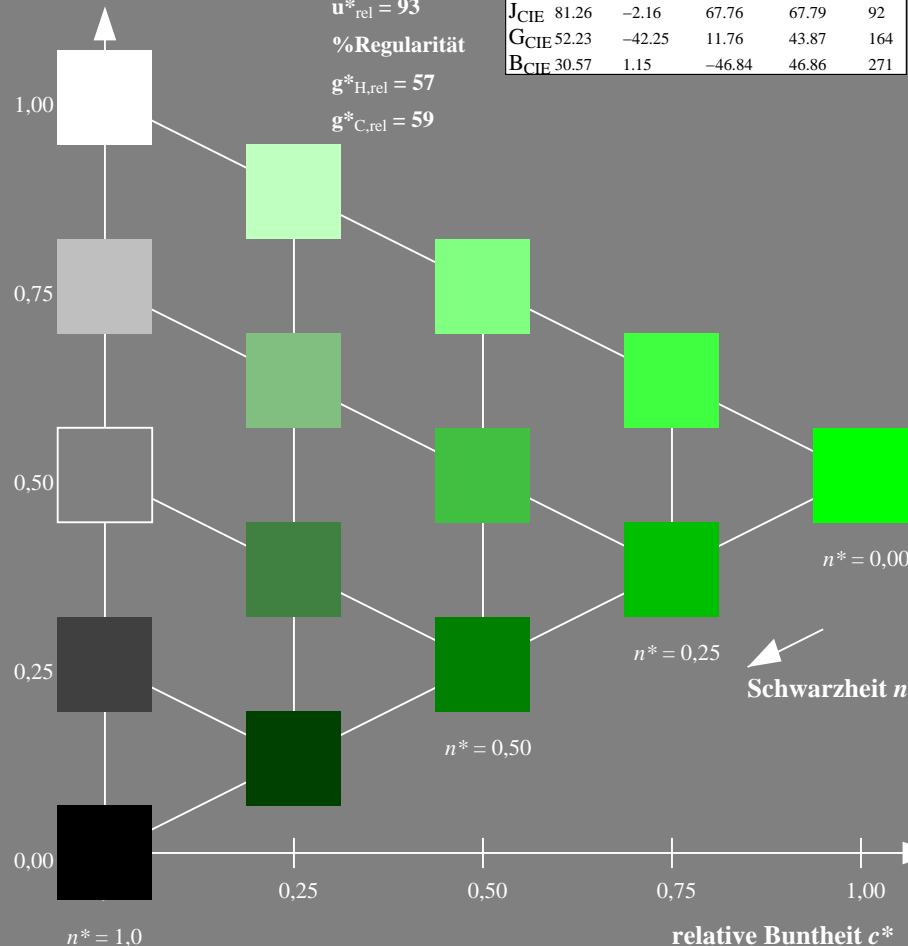
D65: Buntton L
LCH*Ma: 51 72 151
olv*Ma: 0.0 1.0 0.0



ORS18; adaptierte CIELAB-Daten					
	$L^*=L^*_a$	a^*_a	b^*_a	$C^*_{ab,a}$	$h^*_{ab,a}$
O _m	47.94	65.39	50.52	82.63	38
Y _m	90.37	-10.26	91.75	92.32	96
L _m	50.9	-62.83	34.96	71.91	151
C _m	58.62	-30.34	-45.01	54.3	236
V _m	25.72	31.1	-44.4	54.22	305
M _m	48.13	75.28	-8.36	75.74	354
N _m	18.01	0.0	0.0	0.0	0
W _m	95.41	0.0	0.0	0.0	0
R _{CIE}	39.92	58.66	26.98	64.57	25
J _{CIE}	81.26	-2.16	67.76	67.79	92
G _{CIE}	52.23	-42.25	11.76	43.87	164
B _{CIE}	30.57	1.15	-46.84	46.86	271

Dreiecks-Helligkeit t^*

%Umfang
 $u^*_{rel} = 93$
%Regularität
 $g^*_{H,rel} = 57$
 $g^*_{C,rel} = 59$

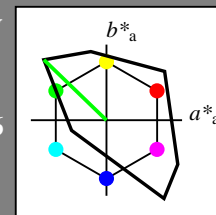


NG200-7, 5 stufige Reihen für konstanten CIELAB Buntton 151/360 = 0.419 (links)

Ausgabe: Farbmimetrisches Fernseh-Licht-System TLS00

für Buntton $h^* = lab^*h = 136/360 = 0.378$
 LAB^*LCH , LAB^*NCH

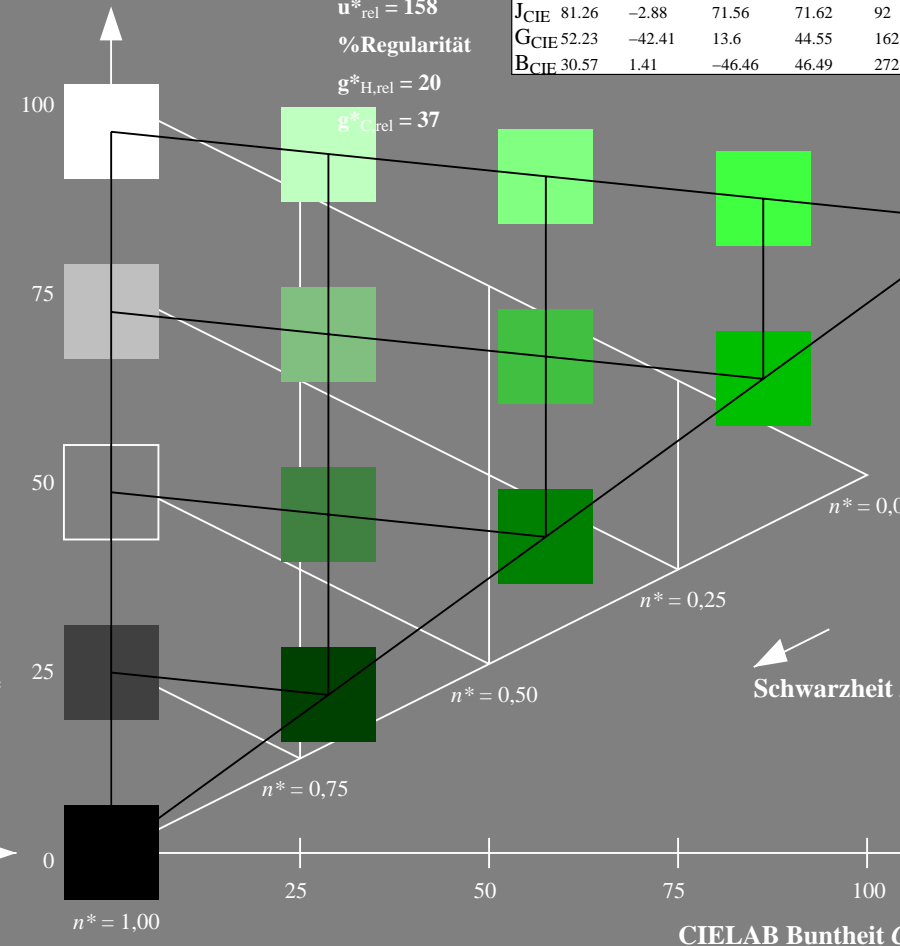
D65: Buntton L
LCH*Ma: 84 115 136
olv*Ma: 0.0 1.0 0.0



TLS00; adaptierte CIELAB-Daten					
	$L^*=L^*_a$	a^*_a	b^*_a	$C^*_{ab,a}$	$h^*_{ab,a}$
O _m	50.5	76.92	64.55	100.42	40
Y _m	92.66	-20.69	90.75	93.08	103
L _m	83.63	-82.75	79.9	115.04	136
C _m	86.88	-46.16	-13.55	48.12	196
V _m	30.39	76.06	-103.59	128.52	306
M _m	57.3	94.35	-58.41	110.97	328
N _m	0.01	0.0	0.0	0.0	0
W _m	95.41	0.0	0.0	0.0	0
R _{CIE}	39.92	58.74	27.99	65.07	25
J _{CIE}	81.26	-2.88	71.56	71.62	92
G _{CIE}	52.23	-42.41	13.6	44.55	162
B _{CIE}	30.57	1.41	-46.46	46.49	272

CIELAB-Helligkeit L^*

%Umfang
 $u^*_{rel} = 158$
%Regularität
 $g^*_{H,rel} = 20$
 $g^*_{C,rel} = 37$



5 stufige Reihen für konstanten CIELAB Buntton 136/360 = 0.378 (rechts)

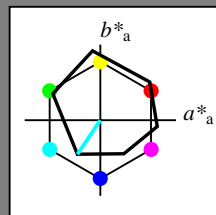
BAM-Prüfvorlage NG20; Farbmimetrik-Systeme ORS18 & TLS00 input: olv* setrgbcolor

D65: Koordinatensysteme; 5stufige Farbreihen für 10 Bunttöne output: no change compared to input

Eingabe: Farbmimetrisches Offset-Reflektiv-System ORS18

für Buntton $h^* = lab^*h = 236/360 = 0.656$
 lab^*tch und lab^*nch

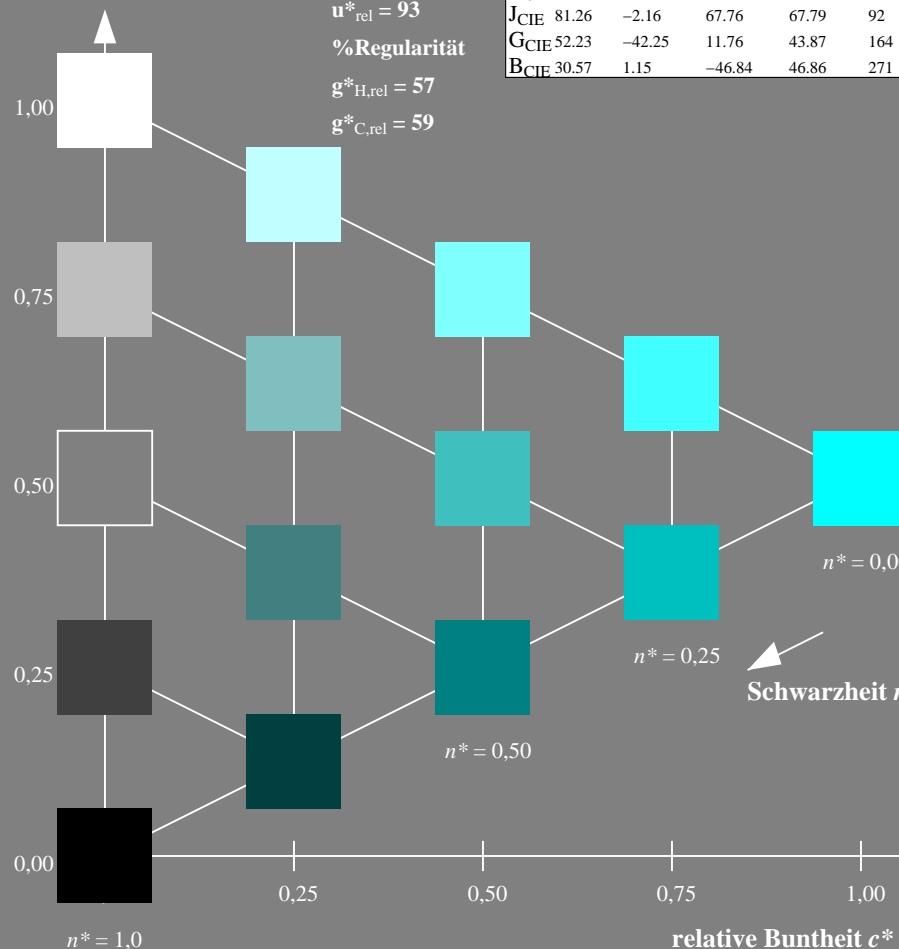
D65: Buntton C
LCH*Ma: 59 54 236
olv*Ma: 0.0 1.0 1.0



ORS18; adaptierte CIELAB-Daten

	$L^*=L^*_a$	a^*_a	b^*_a	$C^*_{ab,a}$	$h^*_{ab,a}$
O _m	47.94	65.39	50.52	82.63	38
Y _m	90.37	-10.26	91.75	92.32	96
L _m	50.9	-62.83	34.96	71.91	151
C _m	58.62	-30.34	-45.01	54.3	236
V _m	25.72	31.1	-44.4	54.22	305
M _m	48.13	75.28	-8.36	75.74	354
N _m	18.01	0.0	0.0	0.0	0
W _m	95.41	0.0	0.0	0.0	0
R _{CIE}	39.92	58.66	26.98	64.57	25
J _{CIE}	81.26	-2.16	67.76	67.79	92
G _{CIE}	52.23	-42.25	11.76	43.87	164
B _{CIE}	30.57	1.15	-46.84	46.86	271

Dreiecks-Helligkeit t^*

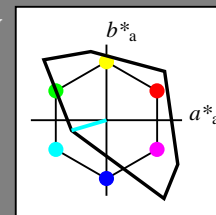


NG200-7, 5 stufige Reihen für konstanten CIELAB Buntton $236/360 = 0.656$ (links)

Ausgabe: Farbmimetrisches Fernseh-Licht-System TLS00

für Buntton $h^* = lab^*h = 196/360 = 0.545$
 LAB^*LCH , LAB^*NCH

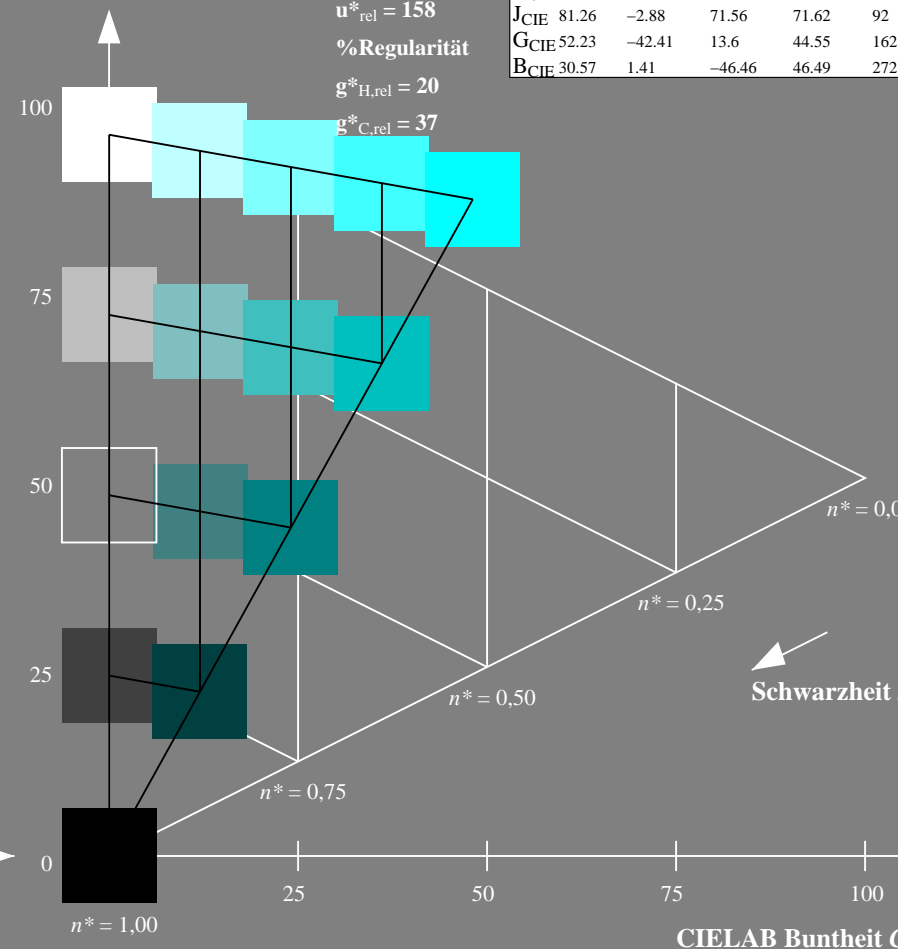
D65: Buntton C
LCH*Ma: 87 48 196
olv*Ma: 0.0 1.0 1.0



TLS00; adaptierte CIELAB-Daten

	$L^*=L^*_a$	a^*_a	b^*_a	$C^*_{ab,a}$	$h^*_{ab,a}$
O _m	50.5	76.92	64.55	100.42	40
Y _m	92.66	-20.69	90.75	93.08	103
L _m	83.63	-82.75	79.9	115.04	136
C _m	86.88	-46.16	-13.55	48.12	196
V _m	30.39	76.06	-103.59	128.52	306
M _m	57.3	94.35	-58.41	110.97	328
N _m	0.01	0.0	0.0	0.0	0
W _m	95.41	0.0	0.0	0.0	0
R _{CIE}	39.92	58.74	27.99	65.07	25
J _{CIE}	81.26	-2.88	71.56	71.62	92
G _{CIE}	52.23	-42.41	13.6	44.55	162
B _{CIE}	30.57	1.41	-46.46	46.49	272

CIELAB-Helligkeit L^*



5 stufige Reihen für konstanten CIELAB Buntton $196/360 = 0.545$ (rechts)

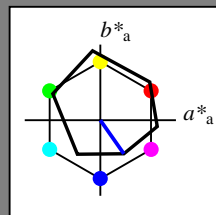
BAM-Prüfvorlage NG20; Farbmimetrik-Systeme ORS18 & TLS00 input: olv* setrgbcolor

D65: Koordinatensysteme; 5stufige Farbreihen für 10 Bunttöne output: no change compared to input

Eingabe: Farbmetrisches Offset-Refektiv-System ORS18

für Buntton $h^* = lab^*h = 305/360 = 0.847$
 lab^*tch und lab^*nch

D65: Buntton V
LCH*Ma: 26 54 305
olv*Ma: 0.0 0.0 1.0



ORS18; adaptierte CIELAB-Daten					
	$L^*=L^*_a$	a^*_a	b^*_a	$C^*_{ab,a}$	$h^*_{ab,a}$
O _m	47.94	65.39	50.52	82.63	38
Y _m	90.37	-10.26	91.75	92.32	96
L _m	50.9	-62.83	34.96	71.91	151
C _m	58.62	-30.34	-45.01	54.3	236
V _m	25.72	31.1	-44.4	54.22	305
M _m	48.13	75.28	-8.36	75.74	354
N _m	18.01	0.0	0.0	0.0	0
W _m	95.41	0.0	0.0	0.0	0
R _{CIE}	39.92	58.66	26.98	64.57	25
J _{CIE}	81.26	-2.16	67.76	67.79	92
G _{CIE}	52.23	-42.25	11.76	43.87	164
B _{CIE}	30.57	1.15	-46.84	46.86	271

Dreiecks-Helligkeit t^*

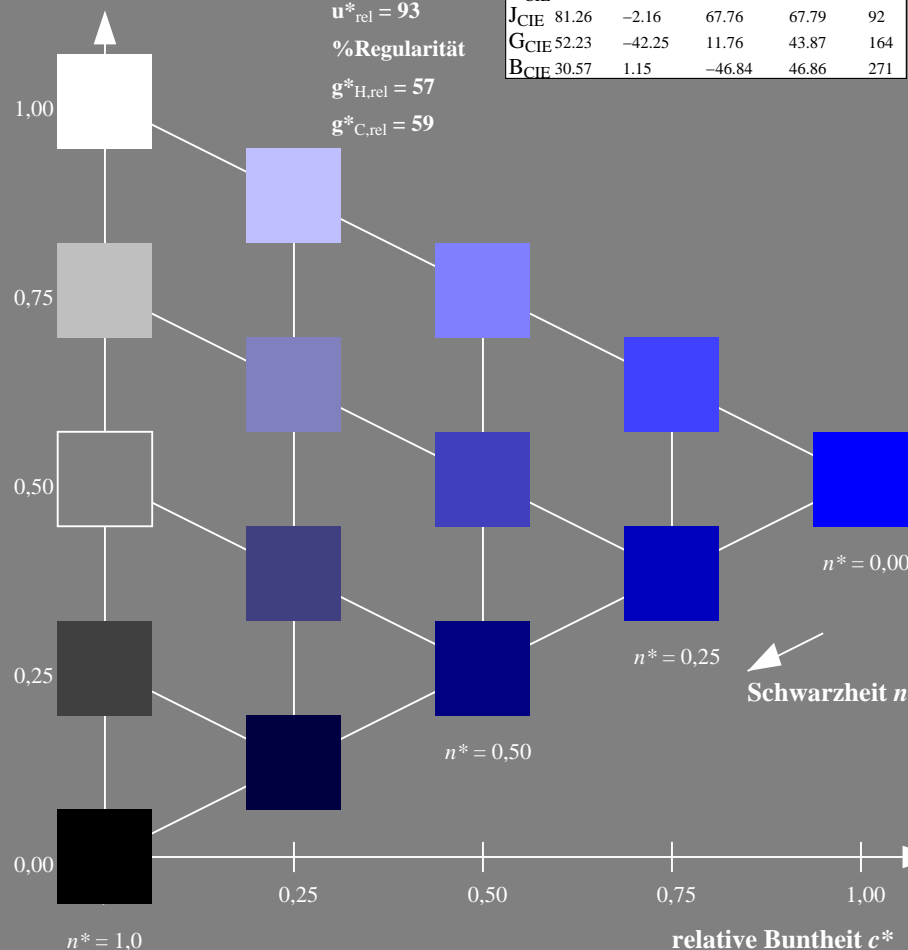
%Umfang

$u^*_{rel} = 93$

%Regularität

$g^*_{H,rel} = 57$

$g^*_{C,rel} = 59$

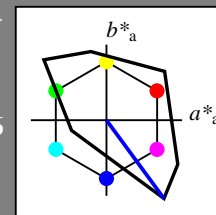


NG200-7, 5 stufige Reihen für konstanten CIELAB Buntton 305/360 = 0.847 (links)

Ausgabe: Farbmetrisches Fernseh-Licht-System TLS00

für Buntton $h^* = lab^*h = 306/360 = 0.851$
 LAB^*LCH , LAB^*NCH

D65: Buntton V
LCH*Ma: 30 129 306
olv*Ma: 0.0 0.0 1.0



TLS00; adaptierte CIELAB-Daten					
	$L^*=L^*_a$	a^*_a	b^*_a	$C^*_{ab,a}$	$h^*_{ab,a}$
O _m	50.5	76.92	64.55	100.42	40
Y _m	92.66	-20.69	90.75	93.08	103
L _m	83.63	-82.75	79.9	115.04	136
C _m	86.88	-46.16	-13.55	48.12	196
V _m	30.39	76.06	-103.59	128.52	306
M _m	57.3	94.35	-58.41	110.97	328
N _m	0.01	0.0	0.0	0.0	0
W _m	95.41	0.0	0.0	0.0	0
R _{CIE}	39.92	58.74	27.99	65.07	25
J _{CIE}	81.26	-2.88	71.56	71.62	92
G _{CIE}	52.23	-42.41	13.6	44.55	162
B _{CIE}	30.57	1.41	-46.46	46.49	272

CIELAB-Helligkeit L^*

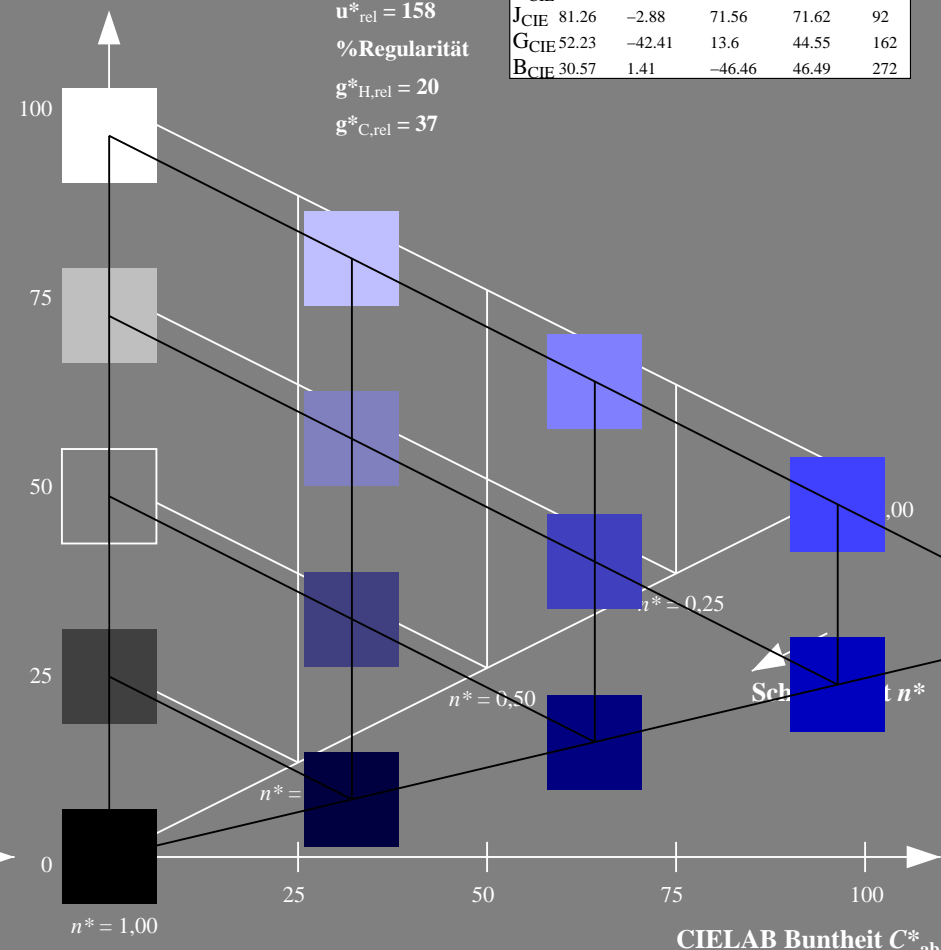
%Umfang

$u^*_{rel} = 158$

%Regularität

$g^*_{H,rel} = 20$

$g^*_{C,rel} = 37$



5 stufige Reihen für konstanten CIELAB Buntton 306/360 = 0.851 (rechts)

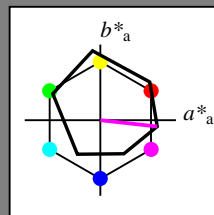
BAM-Prüfvorlage NG20; Farbmetrik-Systeme ORS18 & TLS00 input: olv* setrgbcolor

D65: Koordinatensysteme; 5stufige Farbreihen für 10 Bunttöne output: no change compared to input

Eingabe: Farbmimetrisches Offset-Reflektiv-System ORS18

für Buntton $h^* = lab \cdot h = 354/360 = 0.982$
 $lab \cdot tch$ und $lab \cdot nch$

D65: Buntton M
LCH*Ma: 48 76 354
olv*Ma: 1.0 0.0 1.0



ORS18; adaptierte CIELAB-Daten					
	$L^*=L^*_a$	a^*_a	b^*_a	$C^*_{ab,a}$	$h^*_{ab,a}$
O _m	47.94	65.39	50.52	82.63	38
Y _m	90.37	-10.26	91.75	92.32	96
L _m	50.9	-62.83	34.96	71.91	151
C _m	58.62	-30.34	-45.01	54.3	236
V _m	25.72	31.1	-44.4	54.22	305
M _m	48.13	75.28	-8.36	75.74	354
N _m	18.01	0.0	0.0	0.0	0
W _m	95.41	0.0	0.0	0.0	0
R _{CIE}	39.92	58.66	26.98	64.57	25
J _{CIE}	81.26	-2.16	67.76	67.79	92
G _{CIE}	52.23	-42.25	11.76	43.87	164
B _{CIE}	30.57	1.15	-46.84	46.86	271

Dreiecks-Helligkeit t^*

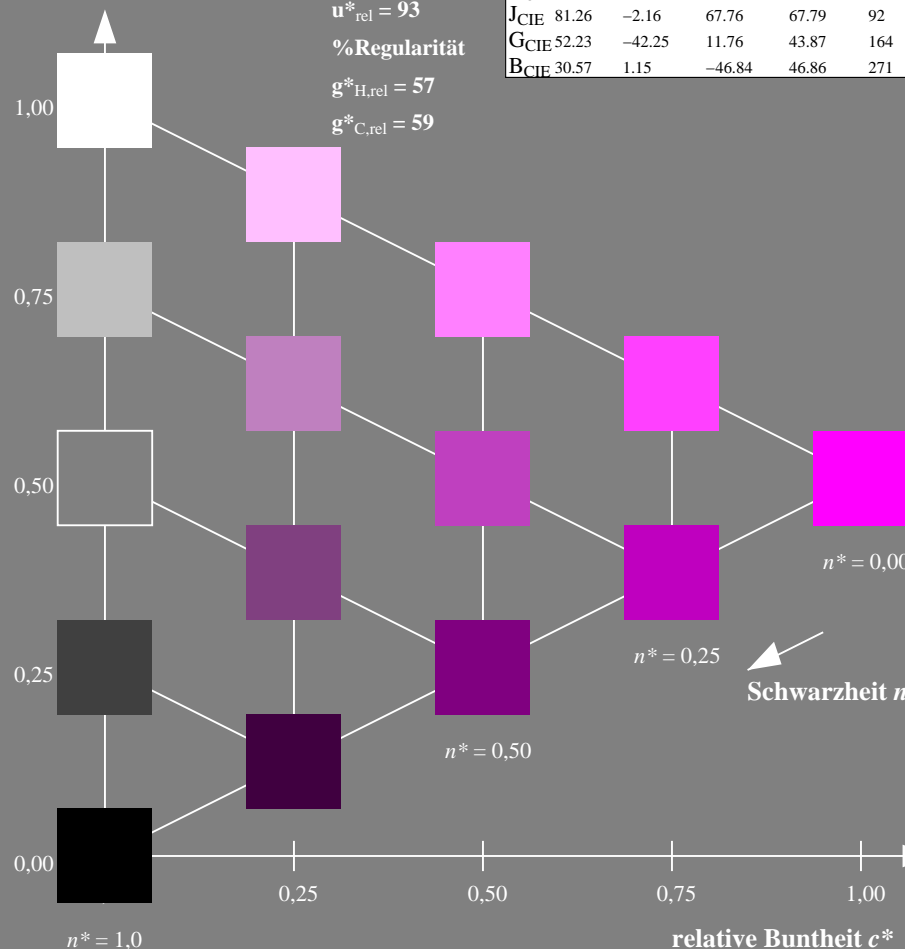
%Umfang

$u^*_{rel} = 93$

%Regularität

$g^*_{H,rel} = 57$

$g^*_{C,rel} = 59$

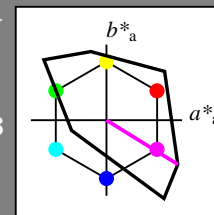


NG200-7, 5 stufige Reihen für konstanten CIELAB Buntton 354/360 = 0.982 (links)

Ausgabe: Farbmimetrisches Fernseh-Licht-System TLS00

für Buntton $h^* = lab \cdot h = 328/360 = 0.912$
 $LAB \cdot LCH$, $LAB \cdot NCH$

D65: Buntton M
LCH*Ma: 57 111 328
olv*Ma: 1.0 0.0 1.0



TLS00; adaptierte CIELAB-Daten					
	$L^*=L^*_a$	a^*_a	b^*_a	$C^*_{ab,a}$	$h^*_{ab,a}$
O _m	50.5	76.92	64.55	100.42	40
Y _m	92.66	-20.69	90.75	93.08	103
L _m	83.63	-82.75	79.9	115.04	136
C _m	86.88	-46.16	-13.55	48.12	196
V _m	30.39	76.06	-103.59	128.52	306
M _m	57.3	94.35	-58.41	110.97	328
N _m	0.01	0.0	0.0	0.0	0
W _m	95.41	0.0	0.0	0.0	0
R _{CIE}	39.92	58.74	27.99	65.07	25
J _{CIE}	81.26	-2.88	71.56	71.62	92
G _{CIE}	52.23	-42.41	13.6	44.55	162
B _{CIE}	30.57	1.41	-46.46	46.49	272

CIELAB-Helligkeit L^*

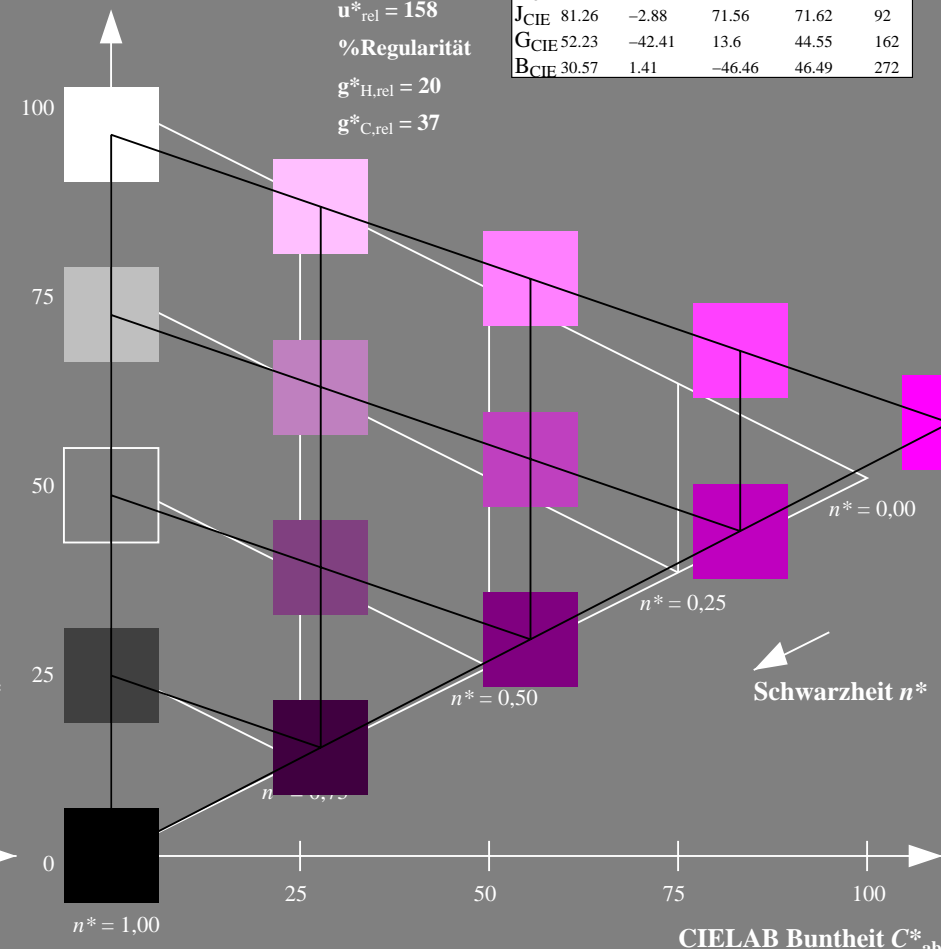
%Umfang

$u^*_{rel} = 158$

%Regularität

$g^*_{H,rel} = 20$

$g^*_{C,rel} = 37$



5 stufige Reihen für konstanten CIELAB Buntton 328/360 = 0.912 (rechts)

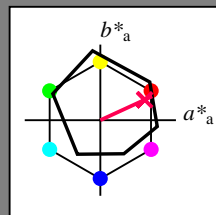
BAM-Prüfvorlage NG20; Farbmimetrik-Systeme ORS18 & TLS00 input: olv* setrgbcolor

D65: Koordinatensysteme; 5stufige Farbreihen für 10 Bunttöne output: no change compared to input

Eingabe: Farbmimetrisches Offset-Reflektiv-System ORS18

für Buntton $h^* = lab^*h = 25/360 = 0.069$
 lab^*tch und lab^*nch

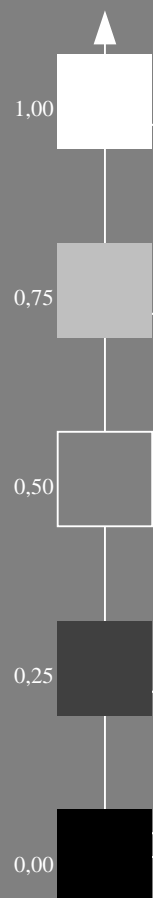
D65: Buntton R
LCH*Ma: 48 75 25
olv*Ma: 1.0 0.0 0.32



ORS18; adaptierte CIELAB-Daten

	$L^*=L^*_a$	a^*_a	b^*_a	$C^*_{ab,a}$	$h^*_{ab,a}$
O _m	47.94	65.39	50.52	82.63	38
Y _m	90.37	-10.26	91.75	92.32	96
L _m	50.9	-62.83	34.96	71.91	151
C _m	58.62	-30.34	-45.01	54.3	236
V _m	25.72	31.1	-44.4	54.22	305
M _m	48.13	75.28	-8.36	75.74	354
N _m	18.01	0.0	0.0	0.0	0
W _m	95.41	0.0	0.0	0.0	0
R _m	39.92	58.66	26.98	64.57	25
J _m	81.26	-2.16	67.76	67.79	92
G _m	52.23	-42.25	11.76	43.87	164
B _m	30.57	1.15	-46.84	46.86	271

Dreiecks-Helligkeit t^*



%Umfang

$u^*_{rel} = 93$

%Regularität

$g^*_{H,rel} = 57$

$g^*_{C,rel} = 59$

R_{CIE}

$n^* = 0.00$

$n^* = 0.25$

Schwarzheit n^*

$n^* = 0.50$

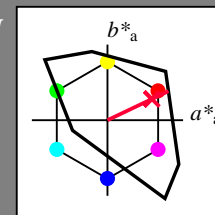
relative Bunttheit c^*

NG200-7, 5 stufige Reihen für konstanten CIELAB Buntton 25/360 = 0.069 (links)

Ausgabe: Farbmimetrisches Fernseh-Licht-System TLS00

für Buntton $h^* = lab^*h = 25/360 = 0.071$
 LAB^*LCH , LAB^*NCH

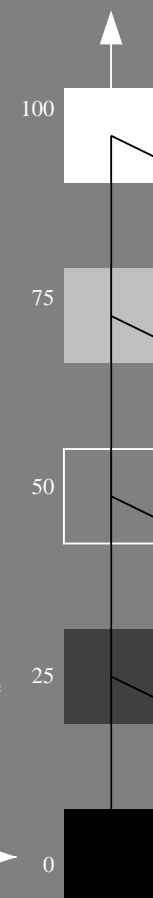
D65: Buntton R
LCH*Ma: 52 89 25
olv*Ma: 1.0 0.0 0.21



TLS00; adaptierte CIELAB-Daten

	$L^*=L^*_a$	a^*_a	b^*_a	$C^*_{ab,a}$	$h^*_{ab,a}$
O _m	50.5	76.92	64.55	100.42	40
Y _m	92.66	-20.69	90.75	93.08	103
L _m	83.63	-82.75	79.9	115.04	136
C _m	86.88	-46.16	-13.55	48.12	196
V _m	30.39	76.06	-103.59	128.52	306
M _m	57.3	94.35	-58.41	110.97	328
N _m	0.01	0.0	0.0	0.0	0
W _m	95.41	0.0	0.0	0.0	0
R _m	39.92	58.74	27.99	65.07	25
J _m	81.26	-2.88	71.56	71.62	92
G _m	52.23	-42.41	13.6	44.55	162
B _m	30.57	1.41	-46.46	46.49	272

CIELAB-Helligkeit L^*



%Umfang

$u^*_{rel} = 158$

%Regularität

$g^*_{H,rel} = 20$

$g^*_{C,rel} = 37$

R_{CIE}

$n^* = 0.00$

$n^* = 0.25$

Schwarzheit n^*

$n^* = 0.50$

CIELAB Bunttheit C^*_{ab}

5 stufige Reihen für konstanten CIELAB Buntton 25/360 = 0.071 (rechts)

BAM-Prüfvorlage NG20; Farbmimetrik-Systeme ORS18 & TLS00 input: olv* setrgbcolor

D65: Koordinatensysteme; 5stufige Farbreihen für 10 Bunttöne output: no change compared to input

Eingabe: Farbmimetrisches Offset-Reflektiv-System ORS18

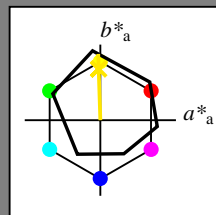
für Buntton $h^* = lab \cdot h = 92/360 = 0.255$

$lab \cdot tch$ und $lab \cdot nch$

D65: Buntton J

LCH*Ma: 86 88 92

olv*Ma: 1.0 0.9 0.0



ORS18; adaptierte CIELAB-Daten

	$L^*=L^*_a$	a^*_a	b^*_a	$C^*_{ab,a}$	$h^*_{ab,a}$
O _m	47.94	65.39	50.52	82.63	38
Y _m	90.37	-10.26	91.75	92.32	96
L _m	50.9	-62.83	34.96	71.91	151
C _m	58.62	-30.34	-45.01	54.3	236
V _m	25.72	31.1	-44.4	54.22	305
M _m	48.13	75.28	-8.36	75.74	354
N _m	18.01	0.0	0.0	0.0	0
W _m	95.41	0.0	0.0	0.0	0
R _m	39.92	58.66	26.98	64.57	25
J _m	81.26	-2.16	67.76	67.79	92
G _m	52.23	-42.25	11.76	43.87	164
B _m	30.57	1.15	-46.84	46.86	271

Dreiecks-Helligkeit t^*

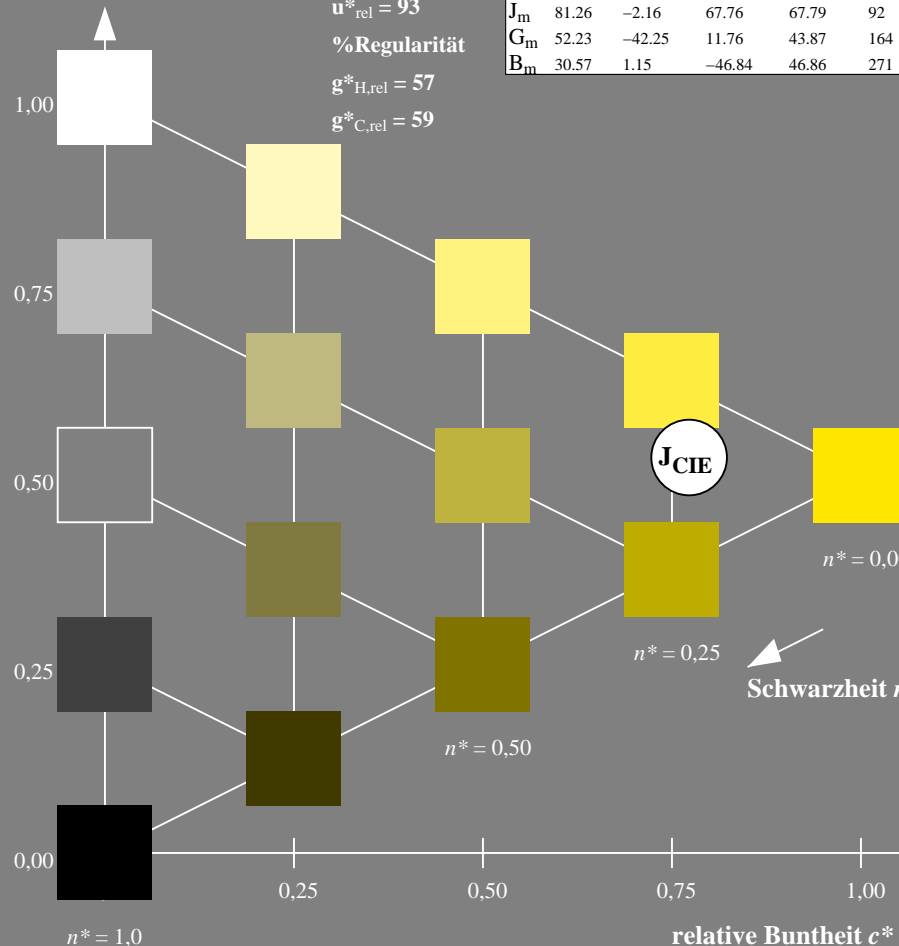
%Umfang

$u^*_{rel} = 93$

%Regularität

$g^*_{H,rel} = 57$

$g^*_{C,rel} = 59$



NG200-7, 5 stufige Reihen für konstanten CIELAB Buntton 92/360 = 0.255 (links)

Ausgabe: Farbmimetrisches Fernseh-Licht-System TLS00

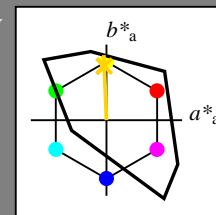
für Buntton $h^* = lab \cdot h = 92/360 = 0.256$

$LAB \cdot LCH$, $LAB \cdot NCH$

D65: Buntton J

LCH*Ma: 85 86 92

olv*Ma: 1.0 0.82 0.0



TLS00; adaptierte CIELAB-Daten

	$L^*=L^*_a$	a^*_a	b^*_a	$C^*_{ab,a}$	$h^*_{ab,a}$
O _m	50.5	76.92	64.55	100.42	40
Y _m	92.66	-20.69	90.75	93.08	103
L _m	83.63	-82.75	79.9	115.04	136
C _m	86.88	-46.16	-13.55	48.12	196
V _m	30.39	76.06	-103.59	128.52	306
M _m	57.3	94.35	-58.41	110.97	328
N _m	0.01	0.0	0.0	0.0	0
W _m	95.41	0.0	0.0	0.0	0
R _m	39.92	58.74	27.99	65.07	25
J _m	81.26	-2.88	71.56	71.62	92
G _m	52.23	-42.41	13.6	44.55	162
B _m	30.57	1.41	-46.46	46.49	272

CIELAB-Helligkeit L^*

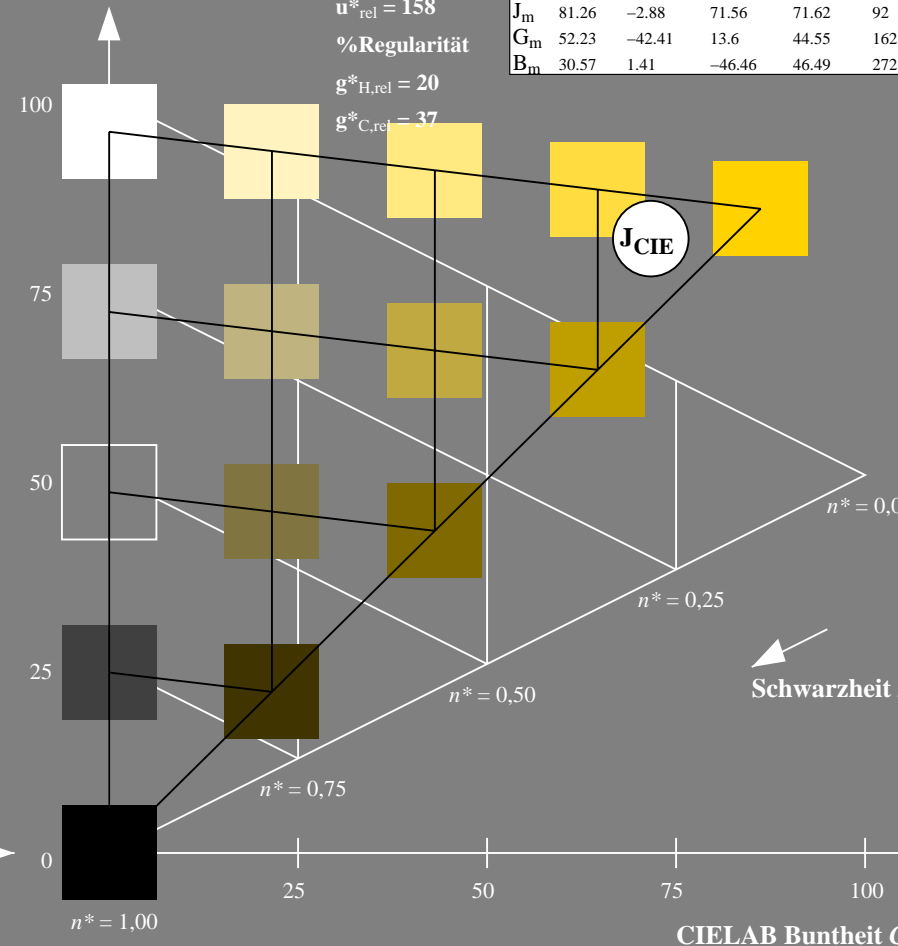
%Umfang

$u^*_{rel} = 158$

%Regularität

$g^*_{H,rel} = 20$

$g^*_{C,rel} = 37$



5 stufige Reihen für konstanten CIELAB Buntton 92/360 = 0.256 (rechts)

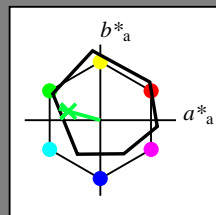
BAM-Prüfvorlage NG20; Farbmimetrik-Systeme ORS18 & TLS00 input: olv* setrgbcolor

D65: Koordinatensysteme; 5stufige Farbreihen für 10 Bunttöne output: no change compared to input

Eingabe: Farbmimetrisches Offset-Reflektiv-System ORS18

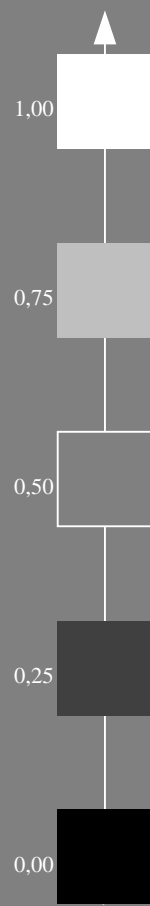
für Buntton $h^* = lab^*h = 164/360 = 0.457$
 lab^*tch und lab^*nch

D65: Buntton G
LCH*Ma: 53 57 164
olv*Ma: 0.0 1.0 0.25



ORS18; adaptierte CIELAB-Daten					
	$L^*=L^*_a$	a^*_a	b^*_a	$C^*_{ab,a}$	$h^*_{ab,a}$
O _m	47.94	65.39	50.52	82.63	38
Y _m	90.37	-10.26	91.75	92.32	96
L _m	50.9	-62.83	34.96	71.91	151
C _m	58.62	-30.34	-45.01	54.3	236
V _m	25.72	31.1	-44.4	54.22	305
M _m	48.13	75.28	-8.36	75.74	354
N _m	18.01	0.0	0.0	0.0	0
W _m	95.41	0.0	0.0	0.0	0
R _m	39.92	58.66	26.98	64.57	25
J _m	81.26	-2.16	67.76	67.79	92
G _m	52.23	-42.25	11.76	43.87	164
B _m	30.57	1.15	-46.84	46.86	271

Dreiecks-Helligkeit t^*



%Umfang
 $u^*_{rel} = 93$
%Regularität
 $g^*_{H,rel} = 57$
 $g^*_{C,rel} = 59$

G_{CIE}

$n^* = 0,00$

$n^* = 0,25$

$n^* = 0,50$

$n^* = 1,0$

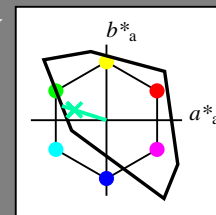
relative Buntheit c^*

NG200-7, 5 stufige Reihen für konstanten CIELAB Buntton $164/360 = 0.457$ (links)

Ausgabe: Farbmimetrisches Fernseh-Licht-System TLS00

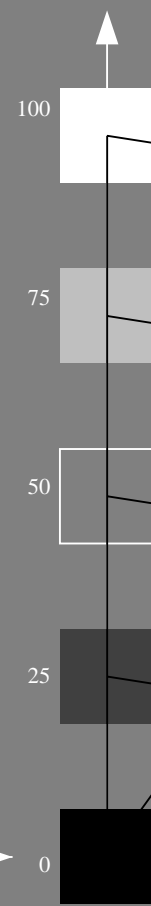
für Buntton $h^* = lab^*h = 162/360 = 0.451$
 LAB^*LCH , LAB^*NCH

D65: Buntton G
LCH*Ma: 86 62 162
olv*Ma: 0.0 1.0 0.65



TLS00; adaptierte CIELAB-Daten					
	$L^*=L^*_a$	a^*_a	b^*_a	$C^*_{ab,a}$	$h^*_{ab,a}$
O _m	50.5	76.92	64.55	100.42	40
Y _m	92.66	-20.69	90.75	93.08	103
L _m	83.63	-82.75	79.9	115.04	136
C _m	86.88	-46.16	-13.55	48.12	196
V _m	30.39	76.06	-103.59	128.52	306
M _m	57.3	94.35	-58.41	110.97	328
N _m	0.01	0.0	0.0	0.0	0
W _m	95.41	0.0	0.0	0.0	0
R _m	39.92	58.74	27.99	65.07	25
J _m	81.26	-2.88	71.56	71.62	92
G _m	52.23	-42.41	13.6	44.55	162
B _m	30.57	1.41	-46.46	46.49	272

CIELAB-Helligkeit L^*



%Umfang
 $u^*_{rel} = 158$
%Regularität
 $g^*_{H,rel} = 20$
 $g^*_{C,rel} = 37$

G_{CIE}

$n^* = 0,00$

$n^* = 0,25$

$n^* = 0,50$

$n^* = 0,75$

$n^* = 1,00$

CIELAB Buntheit C^*_{ab}

5 stufige Reihen für konstanten CIELAB Buntton $162/360 = 0.451$ (rechts)

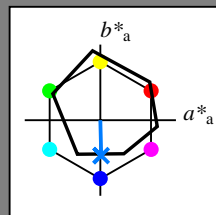
BAM-Prüfvorlage NG20; Farbmimetrische Systeme ORS18 & TLS00 input: olv* setrgbcolor

D65: Koordinatensysteme; 5stufige Farbreihen für 10 Bunttöne output: no change compared to input

Eingabe: Farbmétrisches Offset-Reflektiv-System ORS18

für Buntton $h^* = lab^*h = 271/360 = 0.754$
 lab^*tch und lab^*nch

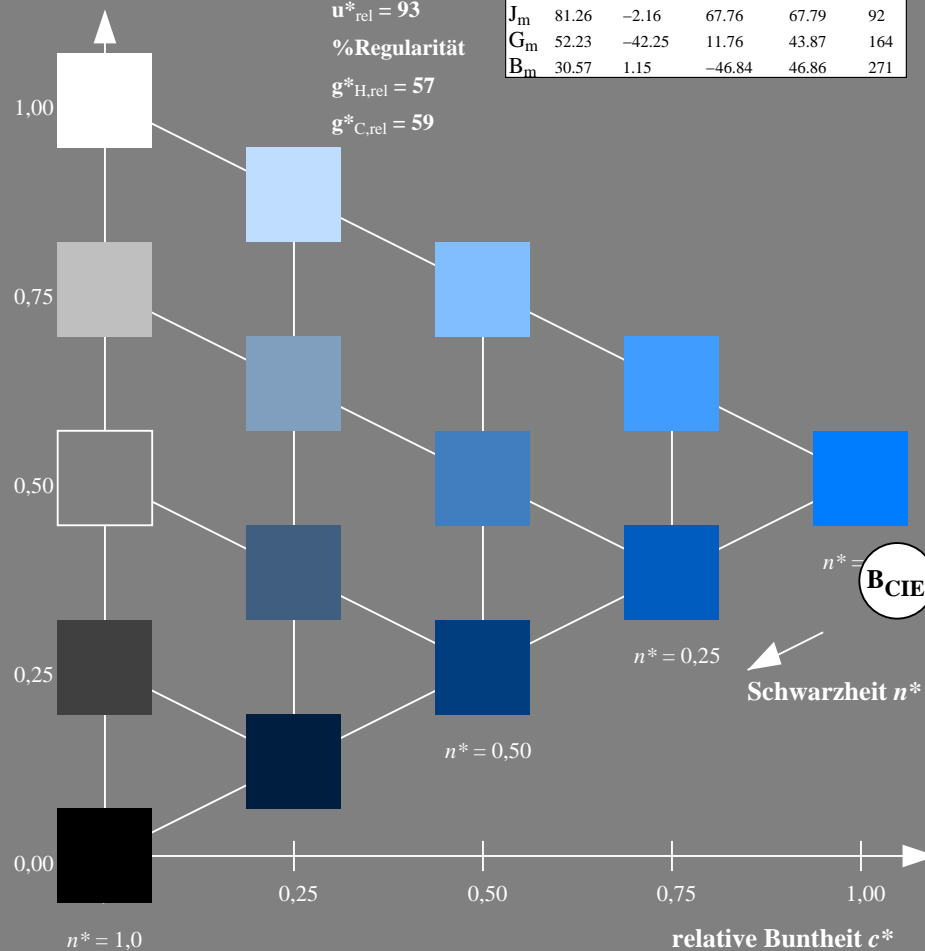
D65: Buntton B
LCH*Ma: 42 45 271
olv*Ma: 0.0 0.49 1.0



ORS18; adaptierte CIELAB-Daten					
	$L^*=L^*_a$	a^*_a	b^*_a	$C^*_{ab,a}$	$h^*_{ab,a}$
O _m	47.94	65.39	50.52	82.63	38
Y _m	90.37	-10.26	91.75	92.32	96
L _m	50.9	-62.83	34.96	71.91	151
C _m	58.62	-30.34	-45.01	54.3	236
V _m	25.72	31.1	-44.4	54.22	305
M _m	48.13	75.28	-8.36	75.74	354
N _m	18.01	0.0	0.0	0.0	0
W _m	95.41	0.0	0.0	0.0	0
R _m	39.92	58.66	26.98	64.57	25
J _m	81.26	-2.16	67.76	67.79	92
G _m	52.23	-42.25	11.76	43.87	164
B _m	30.57	1.15	-46.84	46.86	271

Dreiecks-Helligkeit t^*

%Umfang
 $u^*_{rel} = 93$
%Regularität
 $g^*_{H,rel} = 57$
 $g^*_{C,rel} = 59$

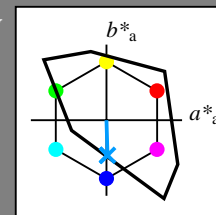


NG200-7, 5 stufige Reihen für konstanten CIELAB Buntton 271/360 = 0.754 (links)

Ausgabe: Farbmétrisches Fernseh-Licht-System TLS00

für Buntton $h^* = lab^*h = 272/360 = 0.755$
 LAB^*LCH , LAB^*NCH

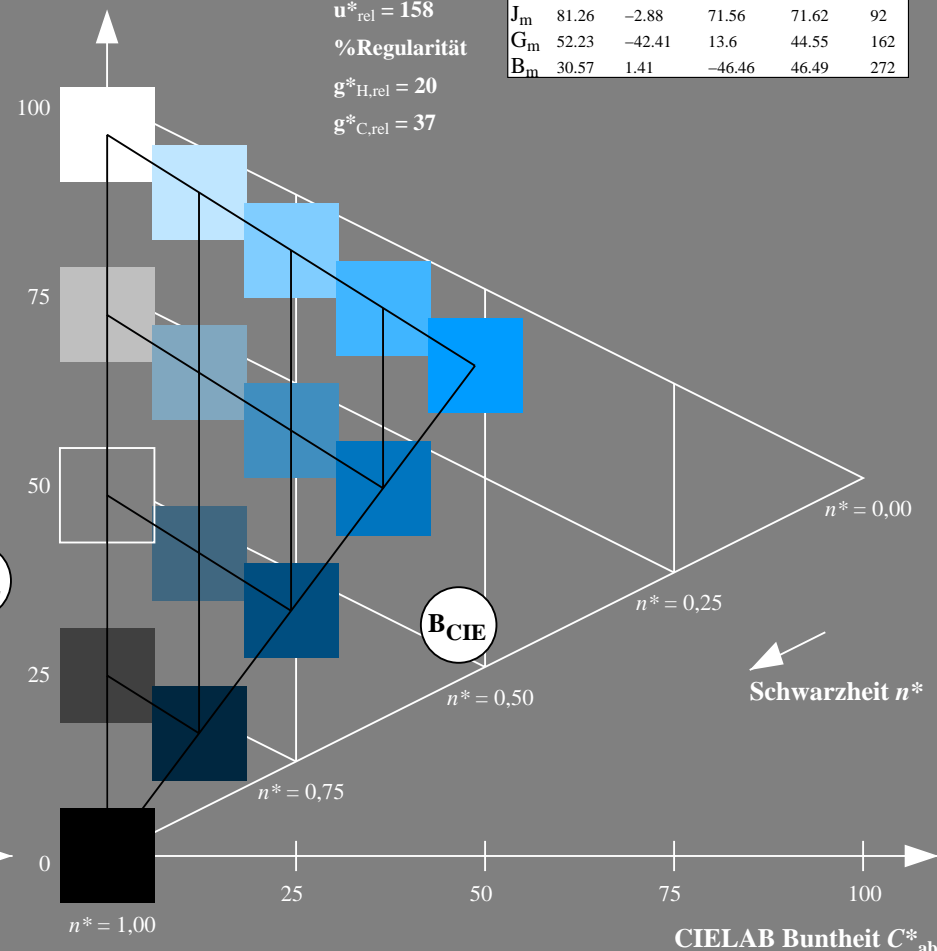
D65: Buntton B
LCH*Ma: 65 49 272
olv*Ma: 0.0 0.61 1.0



TLS00; adaptierte CIELAB-Daten					
	$L^*=L^*_a$	a^*_a	b^*_a	$C^*_{ab,a}$	$h^*_{ab,a}$
O _m	50.5	76.92	64.55	100.42	40
Y _m	92.66	-20.69	90.75	93.08	103
L _m	83.63	-82.75	79.9	115.04	136
C _m	86.88	-46.16	-13.55	48.12	196
V _m	30.39	76.06	-103.59	128.52	306
M _m	57.3	94.35	-58.41	110.97	328
N _m	0.01	0.0	0.0	0.0	0
W _m	95.41	0.0	0.0	0.0	0
R _m	39.92	58.74	27.99	65.07	25
J _m	81.26	-2.88	71.56	71.62	92
G _m	52.23	-42.41	13.6	44.55	162
B _m	30.57	1.41	-46.46	46.49	272

CIELAB-Helligkeit L^*

%Umfang
 $u^*_{rel} = 158$
%Regularität
 $g^*_{H,rel} = 20$
 $g^*_{C,rel} = 37$



5 stufige Reihen für konstanten CIELAB Buntton 272/360 = 0.755 (rechts)

BAM-Prüfvorlage NG20; Farbmétrik-Systeme ORS18 & TLS00 input: olv* setrgbcolor

D65: Koordinatensysteme; 5stufige Farbreihen für 10 Bunttöne output: no change compared to input